

ZnO와 PbO가 Sr-페라이트의 磁氣的 特性에 미치는 影響

金貞勳 · 金東燁 · 金東鎮* · 鄭元容** · 吳在賢

延世大學校 金屬工學科

*韓國動力資源研究所 製鍊研究 1室

**韓國科學技術研究院 金屬材料研究團

(1990년 8월 20일 접수)

Effects of ZnO and PbO on the Magnetic Properties of Sr-ferrite

J.H. Kim, D.Y. Kim, D.J. Kim*, W.Y. Jeung** and J.H. Oh

Department of Metallurgical Engineering, Yonsei University

*First Lab., of Metallurgy, KIER

*Division of Metals, KIST

(Received August 20, 1990)

要 約

본 연구에서는 ZnO와 PbO가 Sr-페라이트의 자기적 특성에 미치는 영향을 조사하였다. Sr-페라이트에 ZnO가 첨가되면 결정립 성장이 일어나 Sr-페라이트의 잔류자속밀도는 증가하나 보자력 및 최대 자기에너지적은 감소하였다. PbO 첨가의 경우 첨가량 0.5 wt%까지는 최대 자기에너지적이 증가하나 0.5 wt% 이상 첨가되면 보자력이 감소하고 따라서 최대 자기에너지적이 감소하였다. 0.5 wt% PbO를 함유한 Sr-페라이트에 SiO₂를 첨가하면, 첨가량이 증가함에 따라 Sr-페라이트의 잔류자속밀도는 지속적으로 감소하고 보자력은 증가하였다. 소결온도가 1250°C인 경우에는 SiO₂ 0.5 wt%까지는 보자력 증가에 의하여 최대 자기에너지적이 증가하나 0.5 wt% 이상 첨가되면 비정상입자 성장이 발생하여 보자력과 최대 자기에너지적이 감소하였다.

한편, 자황철광을 산화배소하여 얻은 산화철을 이용하여 최대 자기에너지적이 3.7 MGoe인 Sr-페라이트를 제조할 수 있었다.

ABSTRACT

Effects of ZnO, PbO and SiO₂ on the grain growth and magnetic properties of Sr-ferrite were investigated.

(1) Addition of ZnO to Sr-ferrite increased remanence, but decreased coercivity and maximum energy product.

(2) Addition of PbO up to 0.5 wt% increased $(B \cdot H)_{max}$ of Sr-feririte, but addition more than 0.5 wt% decreased $(B \cdot H)_{max}$.

(3) SiO₂ addition to the 0.5 wt% PbO doped Sr-ferrite decreased remanence and increased coercivity. The coercivity increase is due to the grain refinement effect of SiO₂. But addition of SiO₂ more than 0.5 wt% invoked a decrease of coercivity and $(B \cdot H)_{max}$ of Sr-ferrite due to abnormal grain growth.

Sr-ferrite magnet having maximum energy product of 3.7MGoe was fabricated by using the roasting product of Pyrrhotite.

I. 서 론

우리나라에서 생산되고 있는 경질 페라이트 자석은 주로 산세산화철을 원료로 하여 제조되고 있다. 그러나 자원의 효과적인 활용이라는 면에서 볼 때 현재 연, 아연

광산에서 광미로 폐기처분되고 있는 자황철광을 산화배소시켜 산화철을 얻은 후 이를 경질 페라이트의 원료로 이용할 수 있다면 매우 유익할 것이다. 이와 같은 목적을 위해서는 페라이트의 자기적 특성에 큰 영향을 미치는 미량원소의 거동에 관한 연구가 선행되어야 할 것이다.

본 연구에서는 제 4보¹⁾(CuO와 SiO₂가 Sr-ferrite의 자기적 특성에 미치는 영향)에 이어 ZnO 및 PbO가 Sr-페라이트의 자기적 특성에 미치는 영향을 설명하고자 하였다. 이는 CuO와 SiO₂와 더불어 이들 산화물은 자황철광 정광의 산화배소 산물에 불순물로서 혼입될 가능성이 많기 때문이다.

이를 위하여 ZnO, PbO와 SiO₂가 Sr-페라이트의 미세 구조, 소결밀도 및 자기적 특성에 미치는 영향을 조사하였다. 아울러, 자황철광 부선정광을 산화배소하여 얻은 산화철을 원료로 하여 직접 Sr-페라이트를 제조한 결과를 함께 제시하였다.

2. 실험방법

2.1. 시편제조

SrCO₃와 α -Fe₂O₃(>99%)를 1:5.2의 비율로 칭량한 후 ZnO, PbO와 함께 아트리터에 장입하여 습식으로 분쇄하였다. 첨가한 ZnO와 PbO 그리고 SiO₂는 모두 일급시약을 사용하였다.

하소는 1250°C에서 1시간 행하였으며, 하소산물을 다시 습식으로 분쇄하여 입도를 1 μm 이하로 조절하였다. 미분쇄된 분말을 8 kOe의 자장 중에서 0.7 ton/cm²의 압력으로 15 mm×20 mm×10 mm의 직육면체 형상으로 습식 성형한 후 150°C에서 24시간 동안 건조하였다. 이후 1190°C~1300°C의 구간에서 1시간 동안 소결을 행한 후 노령시켰다.

2.2. 분석방법

열중량-시차분석기(TG-DTA)를 이용하여 페라이트의 형성 반응을 조사하였으며, 직류 자화측정기를 이용하여 소결시편의 진류자속밀도, 보자력 및 최대 자기에너지 적을 구하였다. 직류 자화측정기의 최대 인가자기장은 26 kOe이었다.

광학현미경 및 주사전자현미경을 이용하여 조직관찰을 행하고, X-선 회절분석을 통하여 절절의 방위성을 살펴보았다. 이 때 X-선 회절분석은 자화방향에 수직한 면에 대하여 행하였으며, 사용한 X-선은 Fe-Kα이었다. 소결체의 밀도는 JIS-Z 2505-1960²⁾ 따라 구하였다.

3. 결과 및 고찰

3.1. ZnO 첨가의 영향

Fig. 1은 ZnO의 첨가가 Sr-페라이트의 형성반응에 미치는 영향을 조사하기 위하여 행한 TG-DTA 분석결과이다.

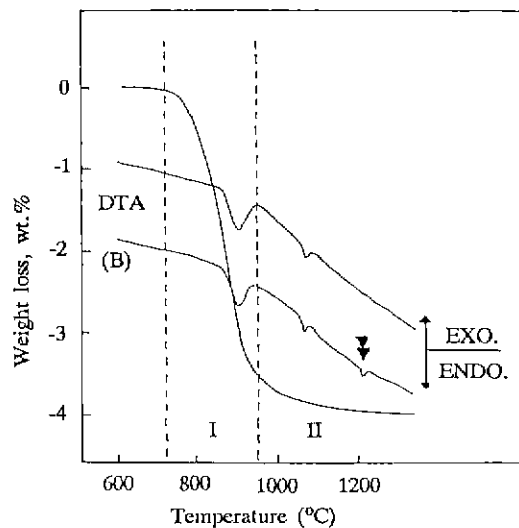


Fig. 1. TG-DTA analysis of (SrCO₃+ α -Fe₂O₃) powder.
(A) SrCO₃+5.2 α -Fe₂O₃; (B) SrCO₃+5.2 α -Fe₂O₃+5 wt% ZnO

Sr-페라이트의 형성반응은 두 단계로 구분되는데 1단계는 SrCO₃와 α -Fe₂O₃가 반응하여 perovskite(SrFeO_{3-x})상을 형성하는 단계이고, 2단계는 이 perovskite상이 미반응 α -Fe₂O₃와 반응하여 Sr-페라이트를 형성하는 단계이다²⁾. ZnO가 첨가된 경우, 열중량분석 결과에서는 1230°C 부근에서 흡열피크가 나타나는 차이를 보였다. ZnO의 용점이 1800°C인 점을 고려하면 이 흡열피크는 첨가된 ZnO가 과잉의 SrO 혹은 Sr-페라아트와 반응하여 액상을 형성하는데 따른 피크라고 생각된다.

Fig. 2는 ZnO 첨가에 따른 결정 방위성의 변화를 알아보기 위하여 자화방향에 수직한 면에 대하여 X-선회절분석을 행한 결과이다. ZnO의 첨가량이 증가함에 따라 (006) (008) (0014) 등의 (00l)면의 회절강도가 증가하였으며, 특히 ZnO가 2.0 wt% 첨가된 경우 (00l)면의 강도가 급격히 증가할 뿐 아니라 주 피크가 (107)면으로부터 (008)면으로 바뀜을 알 수 있다. 이는 ZnO 첨가에 따라 Sr-페라이트 결정립의 배향성이 커진 결과라고 생각된다. 이와 같은 이방성에 대한 정량적 표현으로 Lotgering은 자성계수라는 개념을 도입한 바 있다³⁾.

$$f = (P - P_0) / (1 - P_0)$$

f : orientation factor

P₀ : 등방성에 대한 Lotgering factor

$$P_0 = \sum I_{000} / (\sum I_{000} + \sum I_{hk0})$$

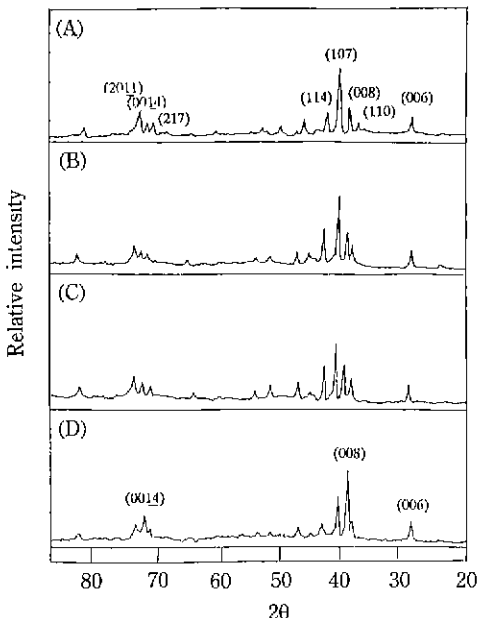


Fig. 2. X-ray diffraction patterns of Sr-ferrite with the addition of ZnO (plane perpendicular to the applied field direction, sintered at 1250°C, 1 hr). (A) 0.0 wt% ZnO; (B) 0.5 wt% ZnO; (C) 1.5 wt% ZnO; (D) 2.0 wt% ZnO.

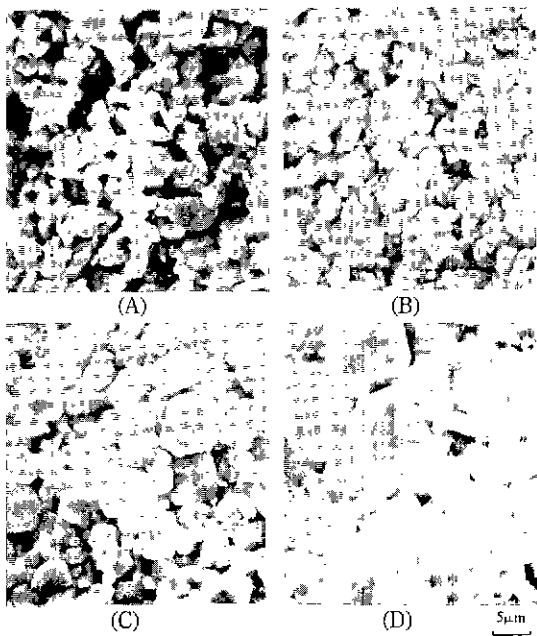


Fig. 3. Microstructures of Sr-ferrite with the addition of ZnO (sintered at 1250°C, 1 hr.).
 (A) 0.0 wt% ZnO; (B) 0.5 wt% ZnO; (C) 1.5 wt% ZnO; (D) 2.0 wt% ZnO.

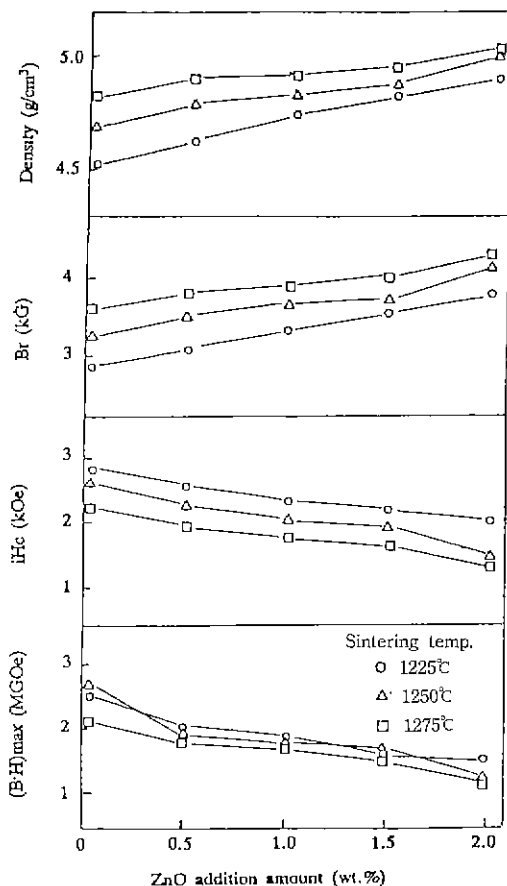


Fig. 4. Variation of magnetic properties and density of Sr-ferrite as a function of ZnO addition.

P : 이방성에 대한 Lotgering factor

$$P = \sum I_{00k} / (\sum I_{00k} + \sum I_{hk})$$

I_{bg} = basal plane 회절강도

L_{hk} = (hkl) 면의 회절강도

ZnO의 첨가에 따른 f 값은 첨가하지 않은 경우의 0.48로부터, 0.5, 1.5 wt%가 첨가되었을 경우 0.51, 0.57로서서히 증가하다가 ZnO가 2 wt% 첨가되면 0.92로 급격히 증가하였다.

Fig. 3은 1250°C에서 소결한 Sr-페라이트의 조직사진으로, ZnO 첨가량이 증가함에 따라 결정립이 성장하는 것을 알 수 있다. 한편, 2.0 wt%의 ZnO가 첨가된 경우에는 대부분분이 조대한 입자들로 이루어져 있는데, 이는 1.5 wt%의 첨가량까지는 ZnO가 Sr-페라이트에 고용되어 bulk transport를 촉진함으로써 치밀화가 진행되나, 2.0 wt% 첨가된 경우에는 고용되고 남은 ZnO가 제 2상(액

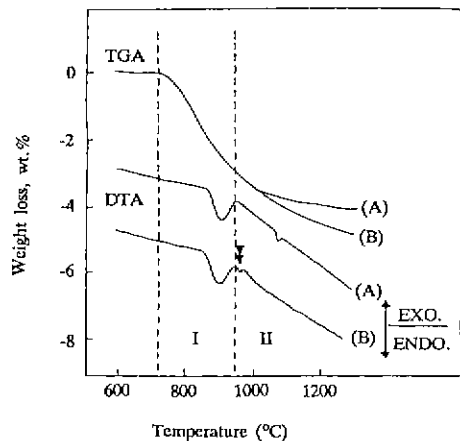


Fig. 5. TG-DTA analysis of $(\text{SrCO}_3 + \alpha\text{-Fe}_2\text{O}_3)$ powder.
(A) $\text{SrCO}_3 + 5.2\alpha\text{-Fe}_2\text{O}_3$; (B) $\text{SrCO}_3 + 5.2\alpha\text{-Fe}_2\text{O}_3 + 5\text{ wt\% PbO}$

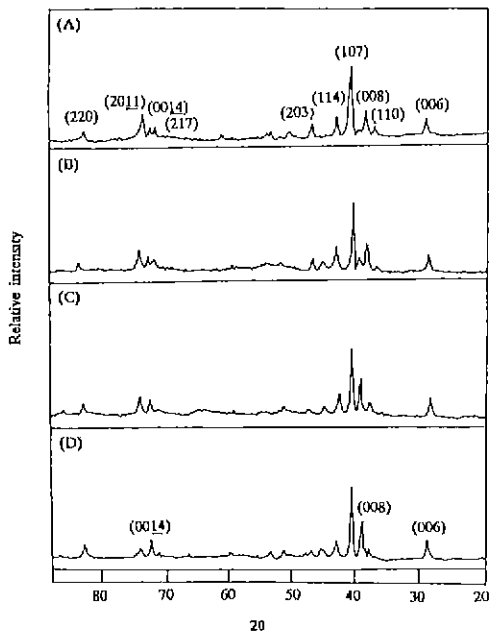


Fig. 6. X-ray diffraction patterns of Sr-ferrite with the addition of PbO (plane perpendicular to the applied field direction, sintered at 1250°C , 1 hr).
(A) 0.0 wt% ZnO; (B) 0.5 wt% ZnO; (C) 1.5 wt% ZnO; (D) 2.0 wt% ZnO.

상)을 형성함으로써 물질 이동을 촉진하여 치밀화가 진행된 결과라고 생각된다.

Fig. 4는 ZnO 첨가에 따른 자기적 특성 및 밀도의 변화를 나타낸 것이다. 잔류 자속밀도는 ZnO 첨가량이 증가함에 따라 증가하였으나, 보자력 및 최대 자기에너

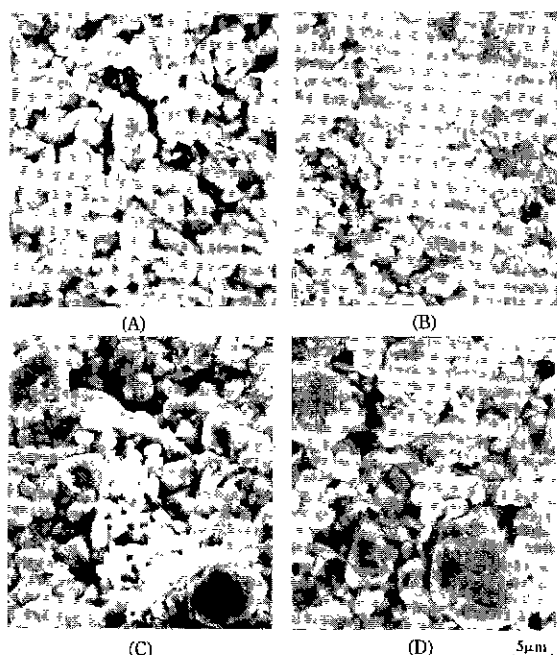


Fig. 7. Microstructures of Sr-ferrite with the addition of PbO (sintered at 1250°C , 1 hr).
(A) 0.0 wt% ZnO; (B) 0.5 wt% ZnO; (C) 1.5 wt% ZnO; (D) 2.0 wt% ZnO.

지적은 감소하였다. 잔류자속밀도가 증가하는 이유는 ZnO의 첨가에 따라 소결밀도가 증가하며, 결정립이 성장하고 결정방위성이 증가함에 기인한다. 그러나 결정립성장에 따라 보자력은 감소하며, 따라서 최대 자기에너지도 감소하게 된다.

3.2. PbO의 첨가의 영향

Fig. 5는 PbO의 첨가가 Sr-페라이트의 형성반응에 미치는 영향을 조사하기 위하여 행한 TG-DTA 분석결과이다. 열시차분석 곡선에서 PbO를 5 wt% 첨가한 경우, 1단계에서는 PbO를 첨가하지 않은 경우와 동일한 거동을 나타내었으나, 2단계의 반응의 PbO를 첨가하지 않을 경우에 비하여 낮은 온도에서 진행하는 현상을 보였다. 이를 미루어 PbO 첨가에 의하여 Sr-페라이트의 형성반응이 촉진됨을 알 수 있다. 한편, 열중량분석 결과로부터 PbO 첨가시에는 지속적인 무게 감량이 있음을 알 수 있다. 이는 용융점이 낮은 PbO의 회발에 의한 결과라고 생각된다⁴⁾.

Fig. 6은 PbO의 첨가가 Sr-페라이트의 결정방위성에 미치는 영향을 알아보기 위하여 소결시편에 대하여 자화방향에 수직한 면으로 X-선 회절분석을 행한 결과이다.

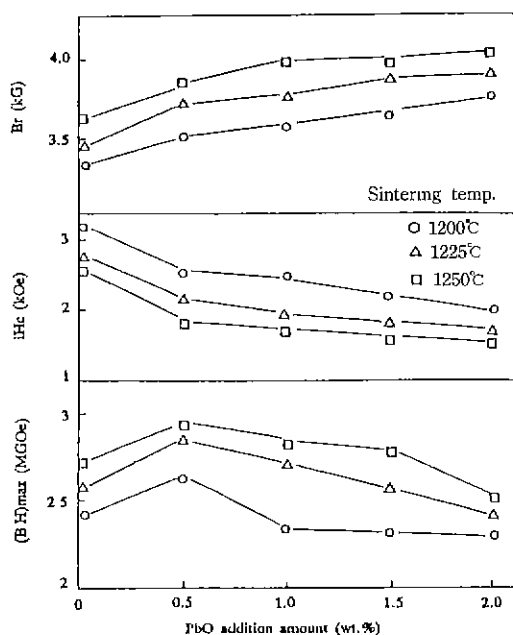


Fig. 8. Variation of magnetic properties of Sr-ferrite as a function of PbO addition.

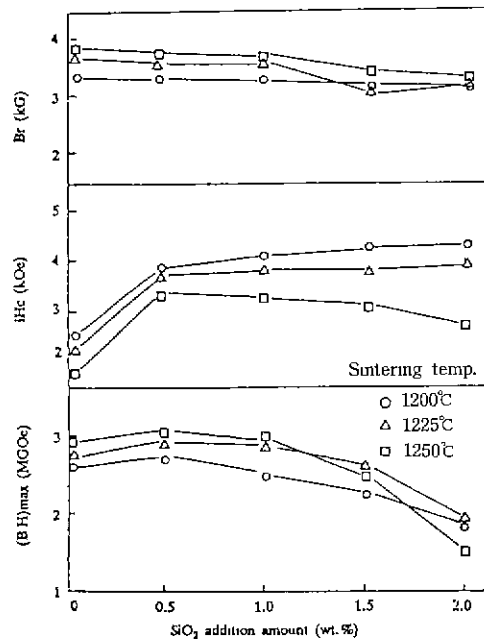


Fig. 9. Variation of magnetic properties of 0.5 wt% PbO doped Sr-ferrite as a function of SiO₂ addition.

PbO의 첨가량이 증가함에 따라 basal plane의 회절강도가 증가하는 것을 알 수 있으나, 앞서의 ZnO 첨가의 경우에 비하여 증가폭이 완만함을 알 수 있다. PbO 첨가량이 0, 0.5, 1.0, 2.0 wt%로 증가함에 따라 Lotgering¹⁾ 제시한 I 값은 0.48, 0.55, 0.64 및 0.79로 증가하였다.

Fig. 7은 1250°C에서 1시간 소결한 시편의 조직사진으로, PbO 첨가량에 따른 변화를 나타낸 것이다. PbO의 첨가량이 증가함에 따라 결정립이 성장하고 있으며, 특히 PbO를 1.0 wt% 이상 첨가한 경우에는 조대한 비정상 입자의 분율이 증가하고 있음을 알 수 있다. TG-DTA 곡선에서 설명되듯이, PbO는 낮은 온도에서 용융되어 액상을 형성하므로 Sr-페라이트의 결정립 성장을 야기하는 것으로 생각된다.

Fig. 8은 PbO 첨가에 따른 Sr-페라이트의 자기적 특성을 나타낸 것이다. PbO 첨가량이 증가함에 따라 소결밀도 및 결정방위성의 증가로 인해 잔류자속밀도는 증가하였으나, 보자력은 감소하는 경향을 나타내었다. 그러나 최대 자기에너지적은 0.5 wt%의 PbO 첨가시 최대값을 나타내었는데, 이는 조직사진으로부터 알 수 있듯이 0.5 wt% PbO 첨가시까지는 비정상 입자성장이 미미하여, 소자곡선에서의 각형성이 유지되며 잔류자속밀도가 증가한 결과라 생각된다.

자황철광에 함유되는 여러 가지 불순물 중에서 SiO₂는

Sr-페라이트의 결정립미세화에 효과가 있다고 알려져 있다⁵⁾. 따라서 본 실험에서는 PbO를 0.5 wt% 함유한 Sr-페라이트에 SiO₂를 첨가하여 Sr-페라이트의 자기적 특성의 변화를 함께 조사하였다.

Fig. 9는 각 소결온도에서 SiO₂ 첨가에 따른 Sr-페라이트의 자기적 특성의 변화를 나타낸 것이다. 잔류자속밀도는 감소하나, 보자력은 증가하는 경향을 나타낸다. SiO₂ 첨가에 따른 보자력의 증가는 첨가된 SiO₂가 화학 양론적인 SrO-6Fe₂O₃의 경우보다 과잉으로 존재하는 SrO와 반응하여 silicate(Sr₂SiO₄ 및 SrSiO₃)를 형성하여 silicate는 고상으로 존재하여 Sr-페라이트의 입자성장을 억제하기 때문이라고 설명된다. 한편, 소결온도 1250°C에서는 SiO₂ 함량이 0.5 wt%인 경우에 보자력이 최대값을 보인 후 다시 감소하고 있다. 이는 SrO-Fe₂O₃-SiO₂의 삼원상태도에서 알 수 있듯이 SiO₂ 함유량이 증가하면 1240°C에서 공정반응이 진행되고 액상이 형성되어 더 이상 Sr-페라이트의 결정립 성장을 억제할 수 없기 때문이다. Kools는 Sr-페라이트에 고상의 silicate가 존재하여 결정립 성장을 억제하는 경우는 SiO₂ 첨가량이 0.4~1.0 wt%인 범위로 보고한 바 있다⁶⁾.

Fig. 10은 0.1 wt% PbO를 함유한 Sr-페라이트에 SiO₂를 첨가하여 1250°C에서 소결한 후 미세구조의 변화를 살펴본 것이다. 앞서 설명하였듯이 SiO₂의 첨가량이 0.5

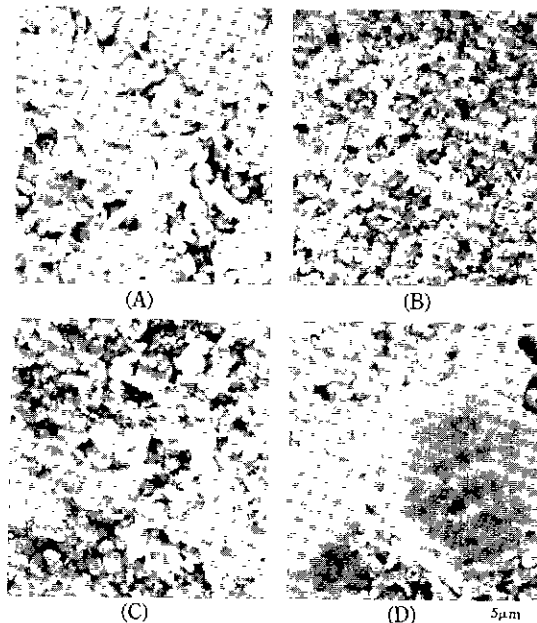


Fig. 10. Microstructure of 0.5 wt% PbO doped Sr-ferrite with the addition of SiO_2 (sintered at 1250 $^{\circ}\text{C}$ 1 hr.).

(A) 0.0 wt% SiO_2 ; (B) 0.5 wt% SiO_2 ; (C) 0.75 wt% SiO_2 ; (D) 1.0 wt% SiO_2 .

wt%인 경우 결정립 미세화 효과가 가장 뚜렷하며, SiO_2 가 1.0 wt% 첨가된 경우에는 조대한 육각판산형의 비정상 입자성장이 일어남을 볼 수 있다.

3.3. 자황철광을 이용한 Sr-페라이트의 제조

본 실험에서는 실제로 자황철광을 이용하여 고특성 Sr-페라이트를 제조하고자 시도하였다. 산화철은 연화광산산 자황철광을 자력선별, 무선을 행한 후 800°C에서 3시간 산화배소한 시료를 사용하였으며, 그 화학성분은 Table 1과 같다.

Table 2는 자황철광 배소산물에 SiO_2 와 봉사를 각각 0.6 wt% 첨가한 후 소결한 시편의 자기적 특성을 나타낸 것이다. SiO_2 는 결정립 미세화를, 봉사는 하소 및 소결촉진을 꾀할 목적으로 사용되었다. 그러나 자황철광의 배소산물에는 재거되기 어려운 SiO_2 가 0.25 wt% 잔존하고 있으므로 SiO_2 가 첨가된 경우 잔류자속밀도 및 보자력이 낮은 값을 나타내고 있다.

Table 3에는 SiO_2 를 첨가하지 않고 봉사를 0.6 wt% 첨가하여 소결한 시편의 자기적 특성을 나타내었다. 소결온도 1230°C 이상에서는 비정상입자성장이 발생하였으며, 1190°C에서 소결하였을 때 $iHc=2.8 \text{ kOe}$, $Br=4.1$

Table 1. Chemical Compositions of Pyrrhotite Concentrate and Pyrrhotite-Cinder

	Pb	Zn	SiO_2	S	Fe
Pyrrhotite conc.	0.170	0.10	0.18	—	59.13
Pyrrhotite-cinder	0.10	0.14	0.25	0.03	—

Table 2. Magnetic Properties of Sr-ferrite Prepared by using Roasting product of Pyrrhotite (0.6 wt% SiO_2 and 0.6 wt% Borax doped)

Sintering temp.($^{\circ}\text{C}$)	iHc (kOe)	Br (kG)	$(B \cdot H)_{max}$ (MGOe)
1210	2.45	3.47	2.60
1200	2.48	3.65	2.97
1190	2.63	3.47	2.73

Table 3. Magnetic Properties of Sr-ferrite Prepared by using Roasting Product of Pyrrhotite (0.6 wt% Borax doped)

Sintering temp.($^{\circ}\text{C}$)	iHc (kOe)	Br (kG)	$(B \cdot H)_{max}$ (MGOe)
1250	1.26	4.30	1.84
1230	1.86	4.28	3.20
1210	2.53	4.14	3.54
1200	2.90	4.07	3.65
1190	2.78	4.08	3.76

kG, $(B \cdot H)_{max}=3.7 \text{ MGOe}$ 인 Sr-페라이트를 제조할 수 있었다.

4. 결 론

1. Sr-페라이트에 ZnO 가 첨가되면 결정립 성장이 일어나 잔류자속밀도는 증가하나 보자력 및 최대 자기에너지적이 감소하였다.

2. PbO 첨가의 경우, 첨가량 0.5 wt%까지는 최대 자기에너지적이 증가하나, 0.5 wt% 이상 첨가되면 최대 자기에너지적이 감소하였다.

3. 0.5 wt% PbO 를 함유한 Sr-페라이트에 SiO_2 를 첨가한 경우 0.5 wt%까지는 보자력 증가에 의해 최대 자기에너지적이 증가하나, 이 이상의 첨가량에서는 비정상입자성장이 발생하여 보자력과 최대 자기에너지적이 감소하였다.

4. 자황철광을 산화배소하여 얻은 산화철을 이용하여 최대 자기에너지적이 3.7 MGOe인 Sr-페라이트를 제조할

수 있었다.

후 기

본 연구는 “자황철광으로부터 페라이트 영구자석의 제조에 관한 연구”의 제 5보로서 ‘89년도 문교부 신소재 분야 연구지원(Ministry of Education Research Fund for Advanced Materials)에 의하여 이루어졌음.

REFERENCES

1. 김동식, 김동엽, 정원용, 오재현, “CuO와 SiO₂가 Sr-페라이트의 자기적 특성에 미치는 영향,” 요업학회지, **26**(6), 747-754 (1989).
2. F. Haberey and A. Kockel, “The Formation of Sr-hexaferrite SrFe₁₂O₁₉ from Pure Iron Oxide and Strontium Carbonate,” *IEEE Trans on Mag MAG-12* **6**, 983-985 (1976).
3. F. Lotgering, “Topotactical Reaction with Ferrimagnetic Oxide Having Hexagonal Crystal Structure,” *J. Inorg. Nucl. Chem.*, **9**, 113 (1959).
4. M. Tokar, “Microstructure and Magnetic Properties of Lead Ferrite,” *J. Am. Ceram. Soc.*, **52**(6), 302-306 (1969).
5. Yamemichi and Y. Watanabe, “Influence of Some Additives in Raw Iron Oxide upon Sintering Rate of Barium Ferrite,” *J. JSPM*, **21**(7), 18-22 (1974).
6. F. Kools, “Effect of Silica During Sintering of M-type Ferrite,” *Ber. Dt. Keram. Ges.* **55**(6), 301-304 (1978).